

根轨迹概略图

第九讲

1. 根轨迹的基本概念：

参数从零到无穷变化时，由开环零极点绘制闭环极点分布图

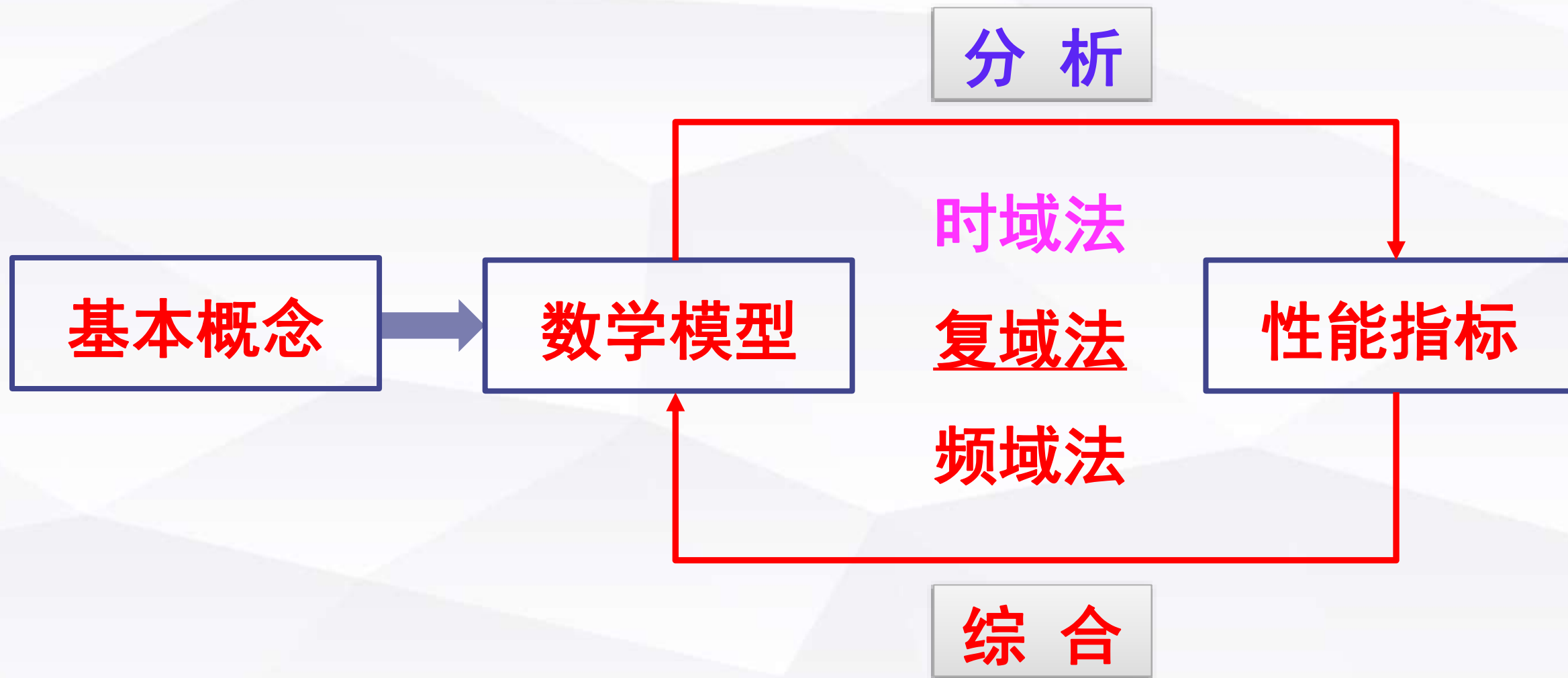
2. 根轨迹的绘制： 八条基本原则

3. 控制系统性能的复域分析：

稳定性，稳态性能，动态性能（主导极点）

4. 控制系统的根轨迹综合

本课程知识体系脉络图



§ 4.7 根轨迹综合法

系统的综合：

设计一个满足技术性能要求的控制系统，其基本手段通常有两种：

1. 调整增益
2. 改变系统的结构：引入改善系统特性的附加装置来对系统的缺陷进行校正，常称这类装置为校正装置；校正方式分为串联校正、反馈校正和复合校正

根轨迹综合法的基本思路：

通过适当添加校正装置改变系统开环零极点的分布，以改变根轨迹的形状，使得系统在开环增益的设计值下，其根轨迹能够通过希望的闭环极点（尤其是主导极点），从而使系统具有满意的性能。

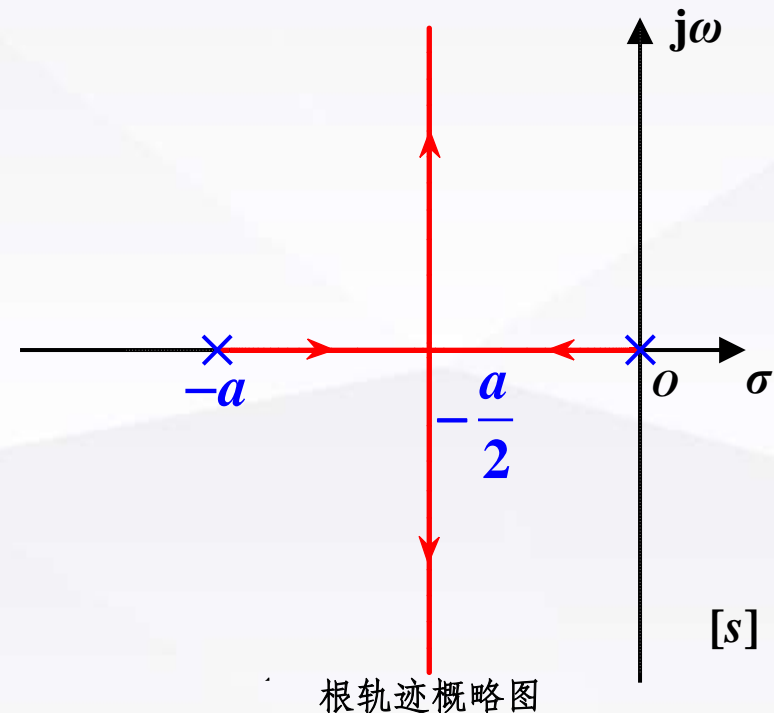
§ 4.7 根轨迹综合法：增加开环零、极点及偶极子对根轨迹形状的影响

添加开环零点对根轨迹的影响：

合理添加开环零点，可以使得根轨迹主要分支将向左移，有利于改善系统的暂态性能和稳定性。

设二阶系统得开环传递函数为：

$$G_k(s) = \frac{K}{s(s+a)}, \quad a > 0$$



§ 4.7 根轨迹综合法：增加开环零、极点及偶极子对根轨迹形状的影响

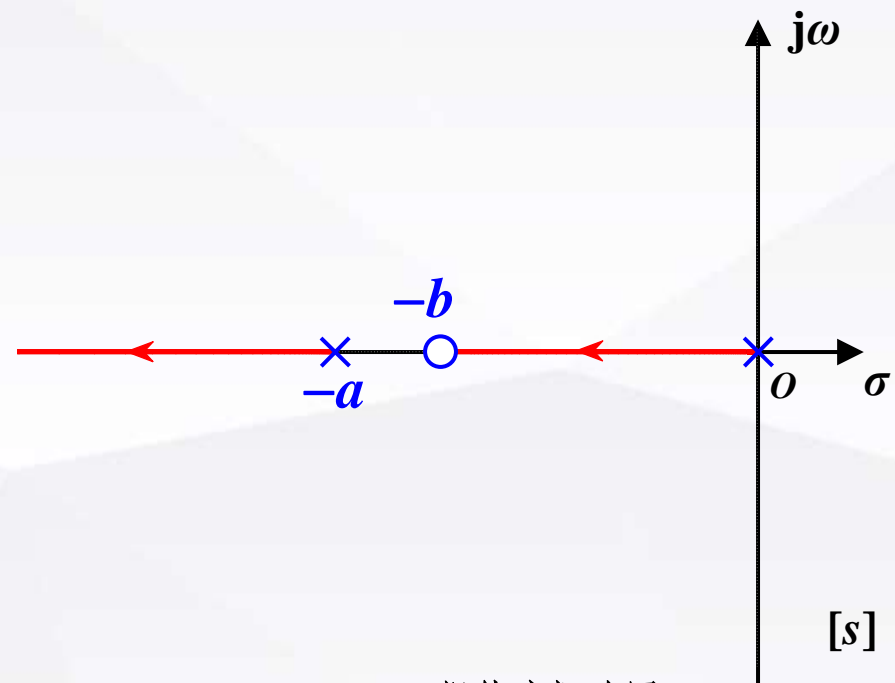
添加开环零点对根轨迹的影响

设二阶系统得开环传递函数为： 若 $a > b > 0$ ，则有：

$$G_k(s) = \frac{K}{s(s+a)}, \quad a > 0$$

在原系统上添加一个实数开环零点，
则系统得开环传递函数为：

$$G_k(s) = \frac{K(s+b)}{s(s+a)}, \quad a > 0, b > 0$$



根轨迹概略图

§ 4.7 根轨迹综合法：增加开环零、极点及偶极子对根轨迹形状的影响

添加开环零点对根轨迹的影响

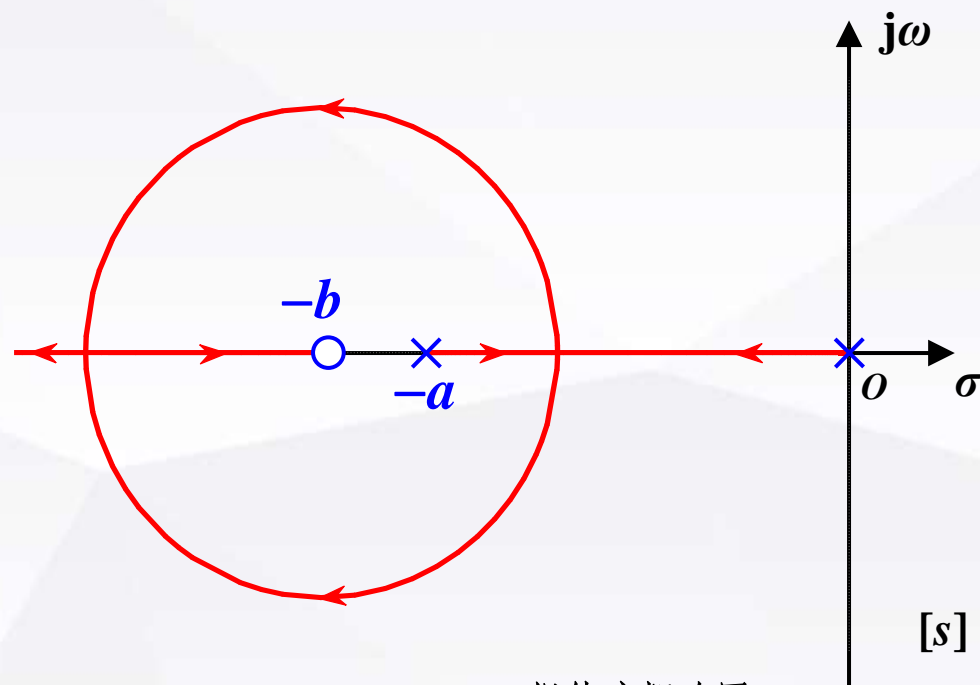
设二阶系统得开环传递函数为：

若 $b > a > 0$ ，则有：

$$G_k(s) = \frac{K}{s(s+a)}, \quad a > 0$$

在原系统上添加一个实数开环零点，
则系统得开环传递函数为：

$$G_k(s) = \frac{K(s+b)}{s(s+a)}, \quad a > 0, b > 0$$



根轨迹概略图

§ 4.7 根轨迹综合法：增加开环零、极点及偶极子对根轨迹形状的影响

添加开环零点对根轨迹的影响

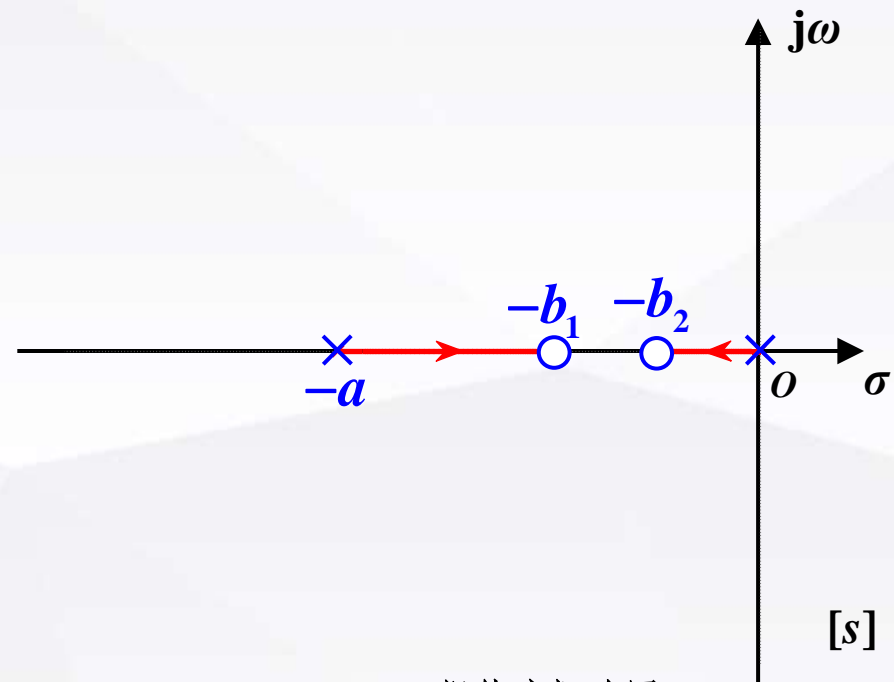
设二阶系统得开环传递函数为： 若 $b_{1,2} < a$ ，则有：

$$G_k(s) = \frac{K}{s(s+a)}, \quad a > 0$$

在原系统上添加一对实数开环零点，
则系统得开环传递函数为：

$$G(s) = \frac{K(s+b_1)(s+b_2)}{s(s+a)}$$

其中 $b_{1,2} > 0$



根轨迹概略图

§ 4.7 根轨迹综合法：增加开环零、极点及偶极子对根轨迹形状的影响

添加开环零点对根轨迹的影响

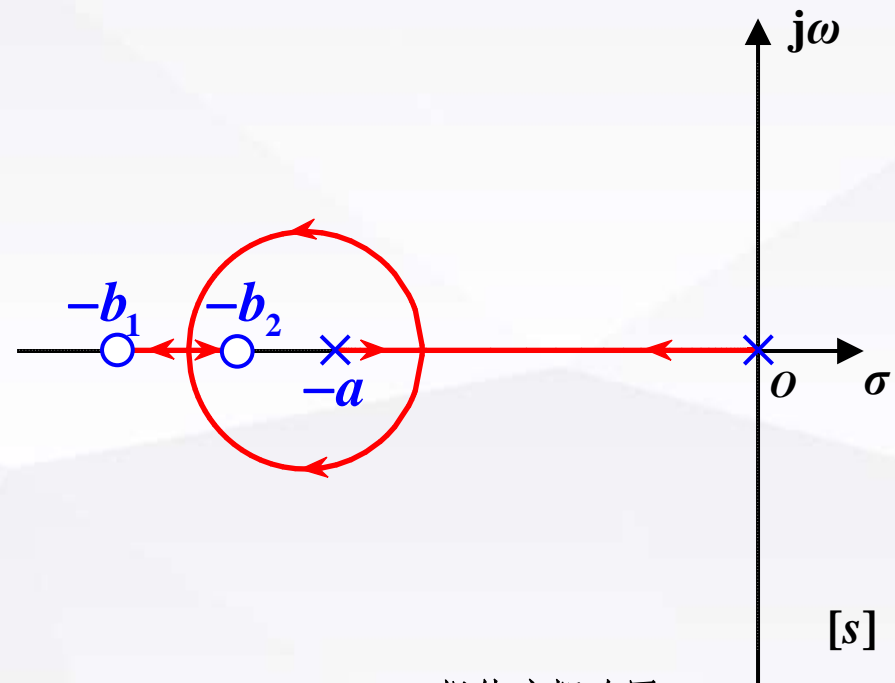
设二阶系统得开环传递函数为： 若 $b_{1,2} > a$ ，则有：

$$G_k(s) = \frac{K}{s(s+a)}, \quad a > 0$$

在原系统上添加一对实数开环零点，
则系统得开环传递函数为：

$$G(s) = \frac{K(s+b_1)(s+b_2)}{s(s+a)}$$

其中 $b_{1,2} > 0$



根轨迹概略图

§ 4.7 根轨迹综合法：增加开环零、极点及偶极子对根轨迹形状的影响

添加开环零点对根轨迹的影响

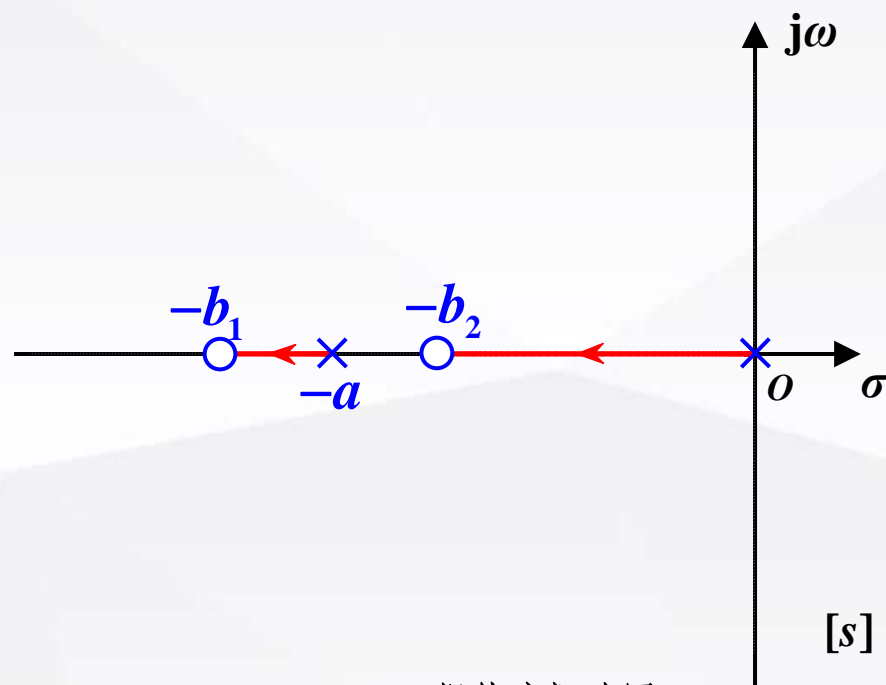
设二阶系统得开环传递函数为： 若 $b_1 > a > b_2$ ，则有：

$$G_k(s) = \frac{K}{s(s+a)}, \quad a > 0$$

在原系统上添加一对实数开环零点，
则系统得开环传递函数为：

$$G(s) = \frac{K(s+b_1)(s+b_2)}{s(s+a)}$$

其中 $b_{1,2} > 0$



根轨迹概略图

§ 4.7 根轨迹综合法：增加开环零、极点及偶极子对根轨迹形状的影响

添加开环零点对根轨迹的影响

设二阶系统得开环传递函数为：

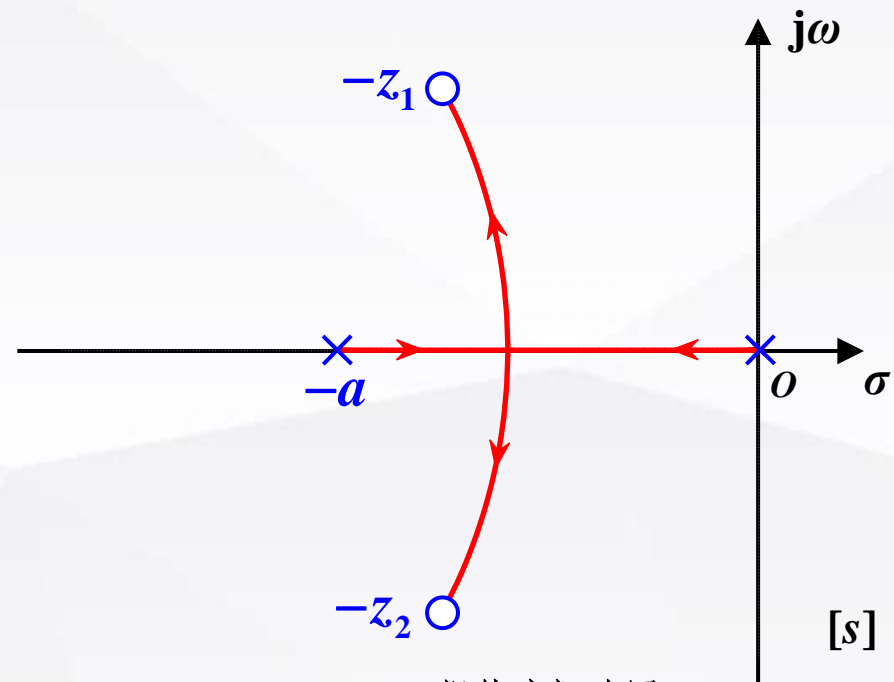
若 $\text{Re}(z_{1,2}) > a/2$ ，则有：

$$G_k(s) = \frac{K}{s(s+a)}, \quad a > 0$$

在原系统上添加一对共轭复数开环零点，则系统得开环传递函数为：

$$G(s) = \frac{K(s+z_1)(s+z_2)}{s(s+a)}$$

其中 $\text{Re}(z_{1,2}) > 0$



根轨迹概略图

§ 4.7 根轨迹综合法：增加开环零、极点及偶极子对根轨迹形状的影响

添加开环零点对根轨迹的影响

设二阶系统得开环传递函数为：

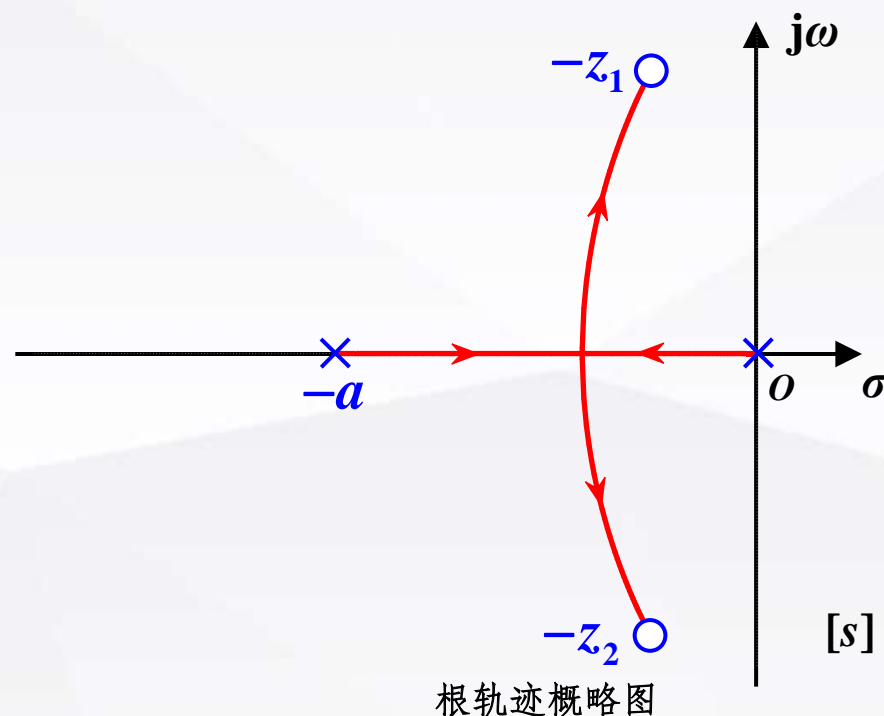
若 $\text{Re}(z_{1,2}) < a/2$ ，则有：

$$G_k(s) = \frac{K}{s(s+a)}, \quad a > 0$$

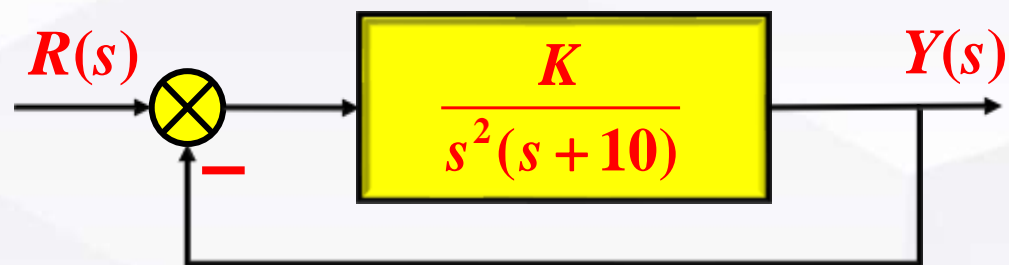
在原系统上添加一对共轭复数开环零点，则系统得开环传递函数为：

$$G(s) = \frac{K(s+z_1)(s+z_2)}{s(s+a)}$$

其中 $\text{Re}(z_{1,2}) > 0$



例：考虑如下的单位反馈系统，



试利用根轨迹法讨论分别在左半开复平面上添加：

- ①一个实数零点 z ;
- ②一对共轭复数零点 $z_{1,2}$;

闭环系统的稳定性、暂态性能及稳态性能的变化情况。

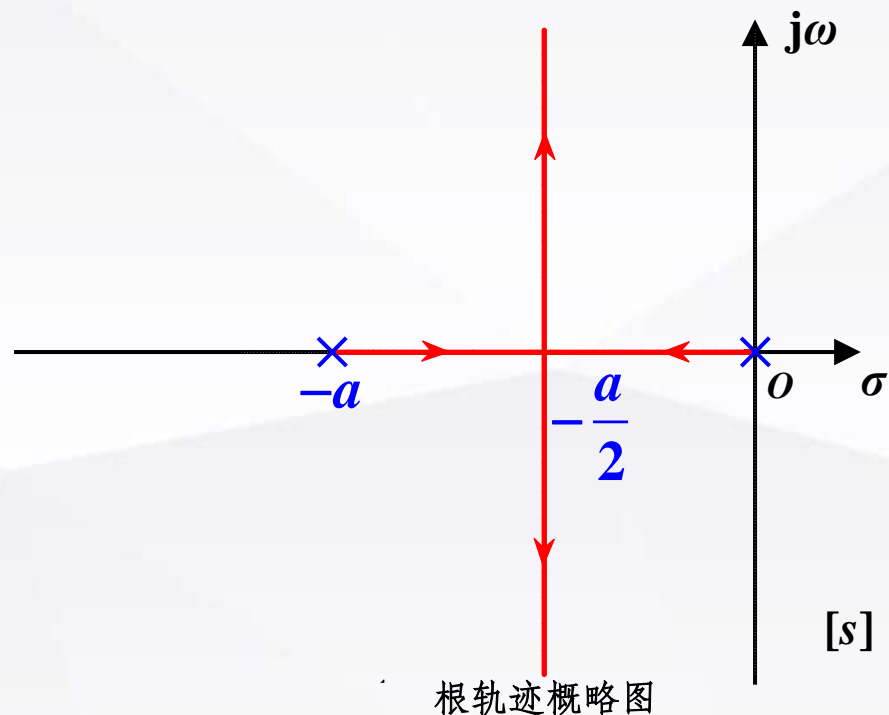
§ 4.7 根轨迹综合法：

添加开环极点对根轨迹的影响：

添加开环极点，可以使得根轨迹主要分支将向右移动，不利于系统的暂态性能和稳定性。

设二阶系统得开环传递函数为：

$$G_k(s) = \frac{K}{s(s+a)}, \quad a > 0$$



§ 4.7 根轨迹综合法：增加开环零、极点及偶极子对根轨迹形状的影响

添加开环极点对根轨迹的影响

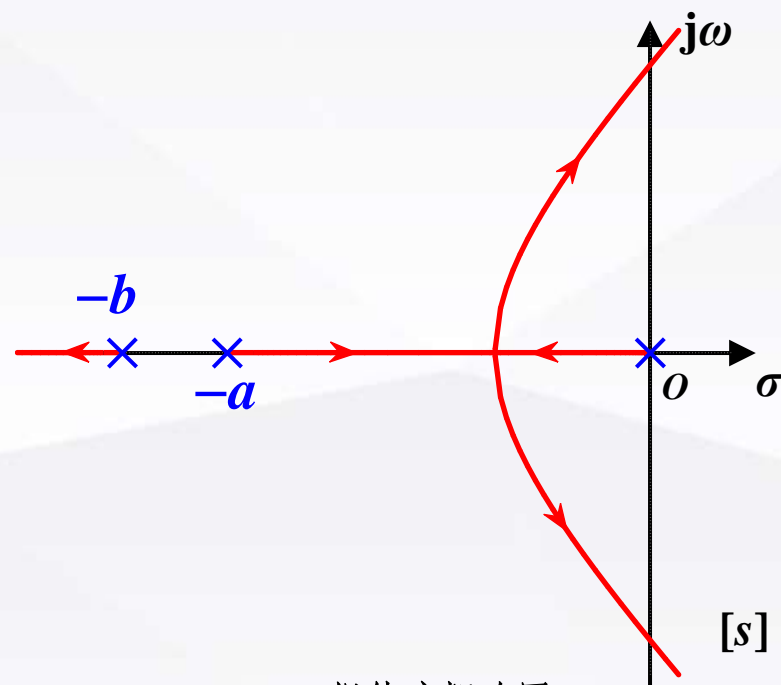
设二阶系统得开环传递函数为：

不妨令 $b > a > 0$ ，则有：

$$G_k(s) = \frac{K}{s(s+a)}, \quad a > 0$$

在原系统上添加一个实数开环极点，
则系统开环传递函数为：

$$G_k(s) = \frac{K}{s(s+a)(s+b)}, \quad a > 0, b > 0$$



根轨迹概略图

§ 4.7 根轨迹综合法：增加开环零、极点及偶极子对根轨迹形状的影响

添加开环极点对根轨迹的影响

设二阶系统得开环传递函数为：

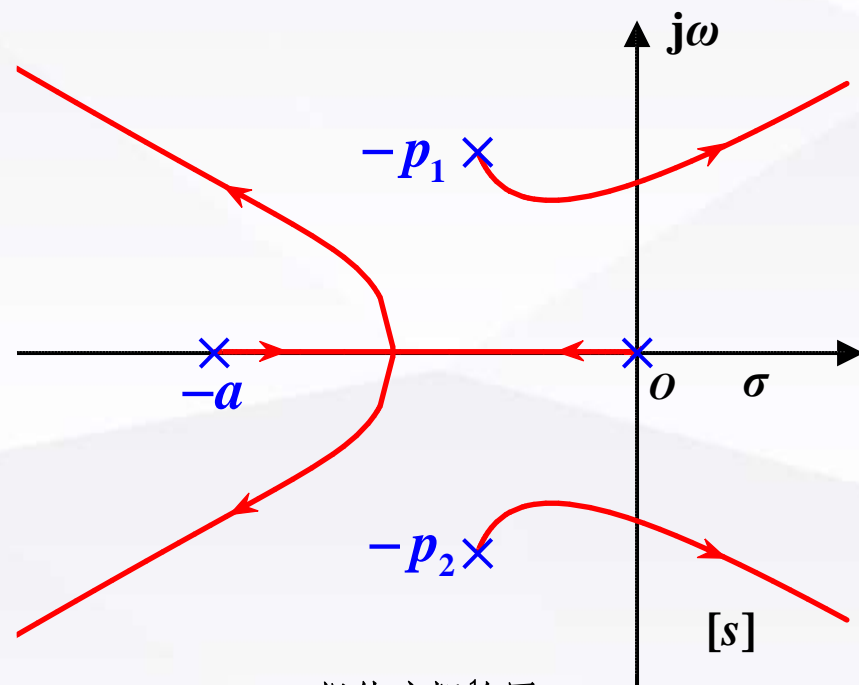
若 $\text{Re}(p_{1,2}) < a/2$ ，则有：

$$G_k(s) = \frac{K}{s(s+a)}, \quad a > 0$$

在原系统上添加一对共轭复数开极点，则系统开环传递函数为：

$$G(s) = \frac{K}{s(s+a)(s+p_1)(s+p_2)}$$

其中 $\text{Re}(p_{1,2}) > 0$



根轨迹概略图

§ 4.7 根轨迹综合法：增加开环零、极点及偶极子对根轨迹形状的影响

添加开环极点对根轨迹的影响

设二阶系统得开环传递函数为：

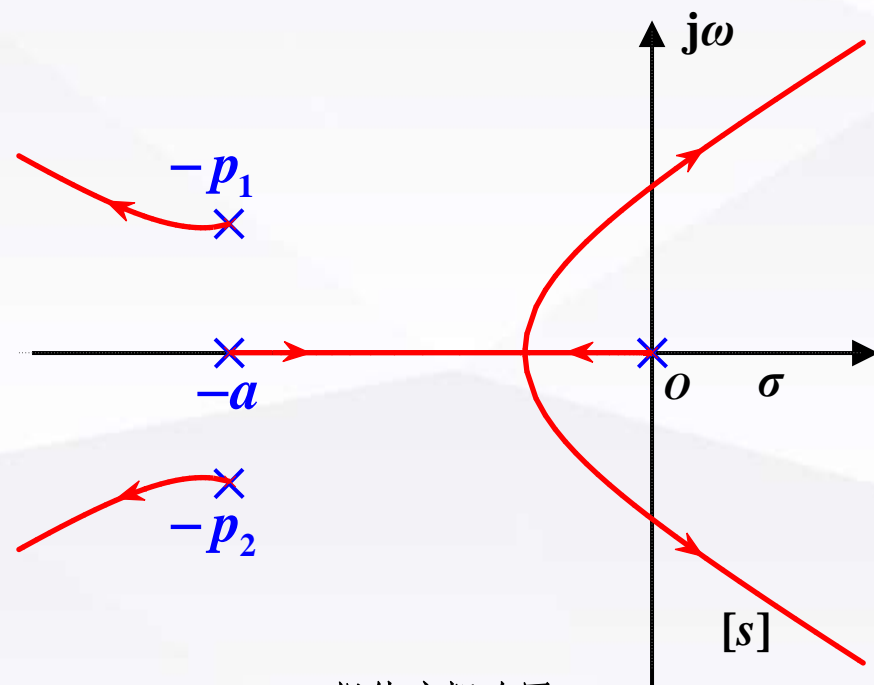
若 $\text{Re}(p_{1,2}) > a/2$ ，则有：

$$G_k(s) = \frac{K}{s(s+a)}, \quad a > 0$$

在原系统上添加一对共轭复数开极点，则系统开环传递函数为：

$$G(s) = \frac{K}{s(s+a)(s+p_1)(s+p_2)}$$

其中 $\text{Re}(p_{1,2}) > 0$



根轨迹概略图

§ 4.7 根轨迹综合法：增加开环零、极点及偶极子对根轨迹形状的影响

添加开环极点对根轨迹的影响

设二阶系统得开环传递函数为：

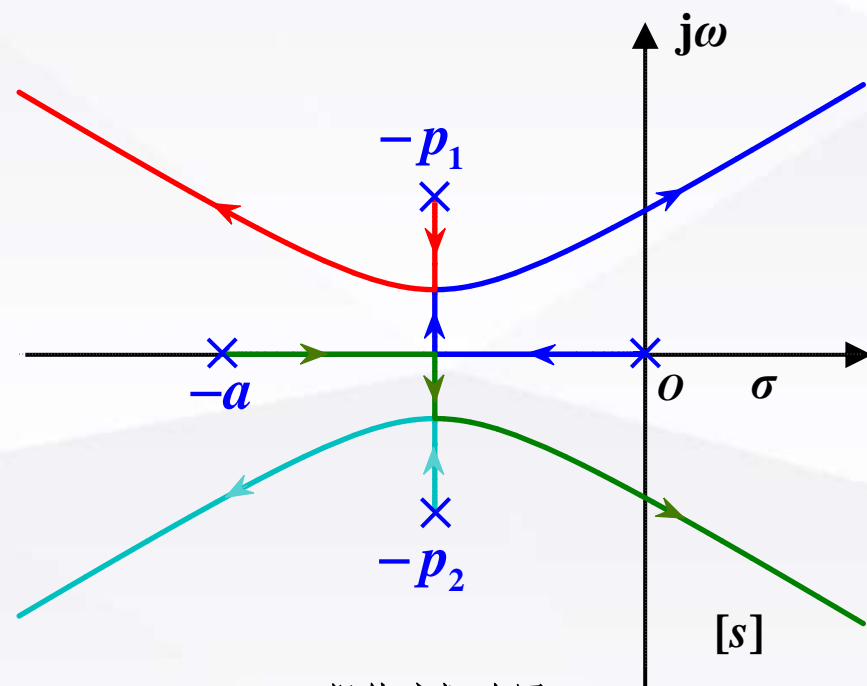
若 $\text{Re}(p_{1,2})=a/2$ ，则有：

$$G_k(s) = \frac{K}{s(s+a)}, \quad a > 0$$

在原系统上添加一对共轭复数开极点，则系统开环传递函数为：

$$G(s) = \frac{K}{s(s+a)(s+p_1)(s+p_2)}$$

其中 $\text{Re}(p_{1,2}) > 0$



根轨迹概略图

§ 4.7 根轨迹综合法

添加开环偶极子对根轨迹的影响

添加开环偶极子基本不会影响根轨迹的形状，其在幅值条件和辐角条件中彼此抵消，因此系统暂态特性不会发生明显变化，但是其增益可以发生明显变化（当其靠近原点时），进而对稳态特性产生影响。

系统开环传递函数中添加一对靠近原点的开环偶极子 z_c 、 p_c ，且满足 $z_c = Mp_c$ ，则保持增益不变的前提下，可将 $s - z_c$ 和 $s - p_c$ 近似消去：

$$G_k(s) = K_g \frac{\prod_{i=1}^m (s - z_i)(s - z_c)}{\prod_{j=1}^n (s - p_j)(s - p_c)} \approx MK_g \frac{\prod_{i=1}^m (s - z_i)}{\prod_{j=1}^n (s - p_j)}$$

添加开环偶极子后系统增益相较原系统增大 M 倍；若 M 值较大，则系统的稳态特性将会发生明显变化。

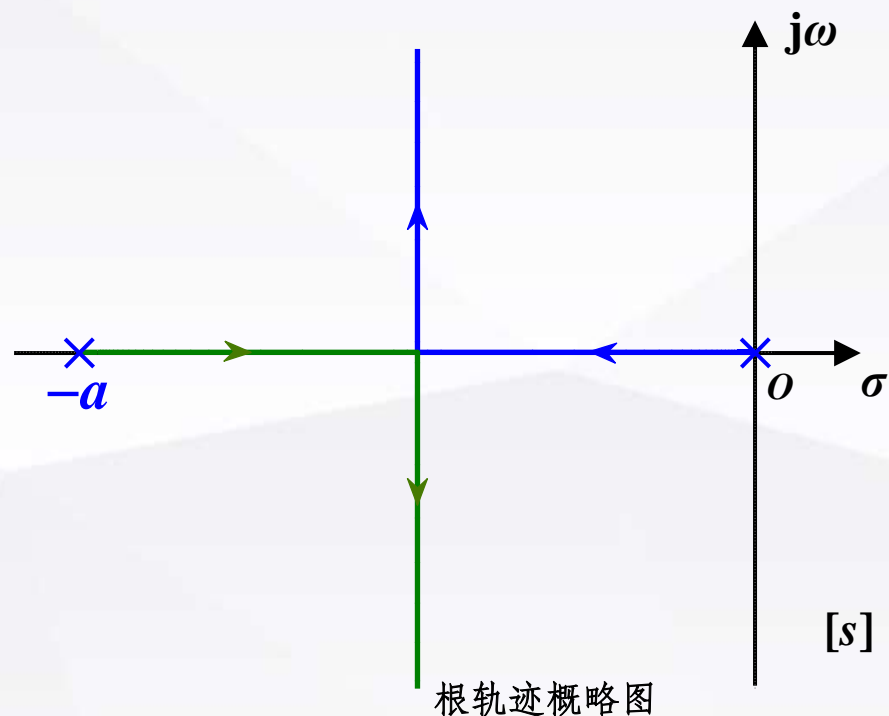
§ 4.7 根轨迹综合法

添加开环偶极子对根轨迹的影响

合理添加一对左半开复平面上的开环偶极子，可在不改变根轨迹形状的情况下有效提升系统的稳态性能。

设二阶系统得开环传递函数为：

$$G_k(s) = \frac{K}{s(s+a)}, \quad a > 0$$



§ 4.7 根轨迹综合法

添加开环偶极子对根轨迹的影响

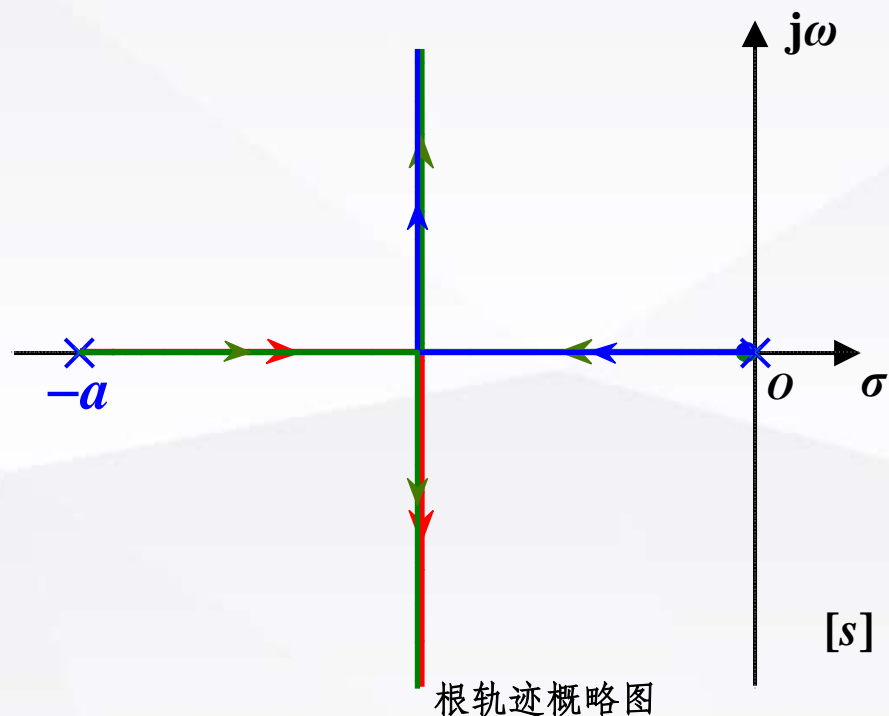
合理添加一对左半开复平面上的开环偶极子，可在不改变根轨迹形状的情况下有效提升系统的稳态性能。

设二阶系统得开环传递函数为：

$$G_k(s) = \frac{K}{s(s+a)}, \quad a > 0$$

在原系统上添加一对靠近原点的开环偶极子，则系统开环传递函数为：

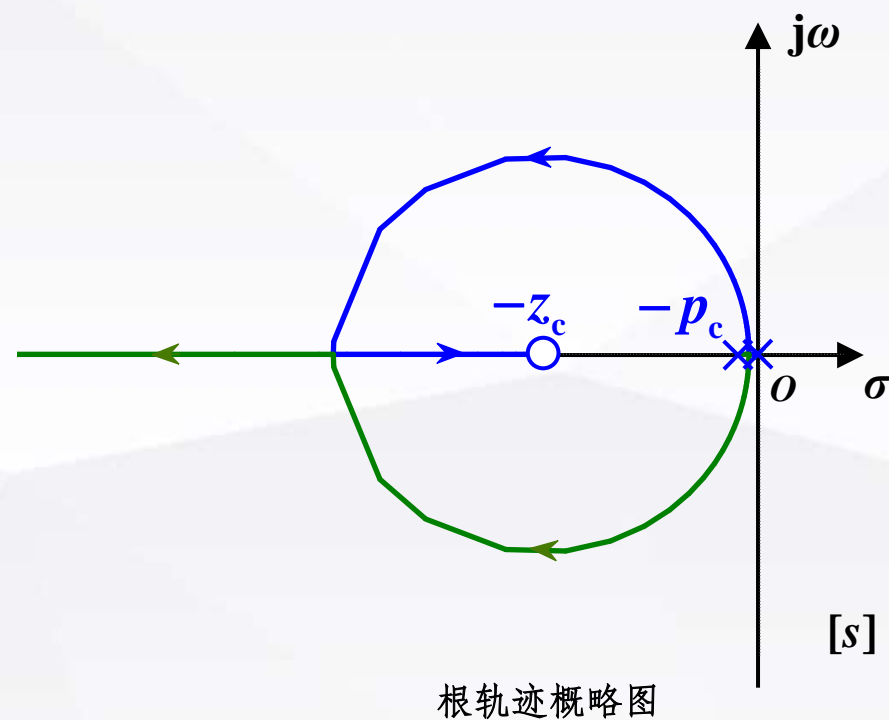
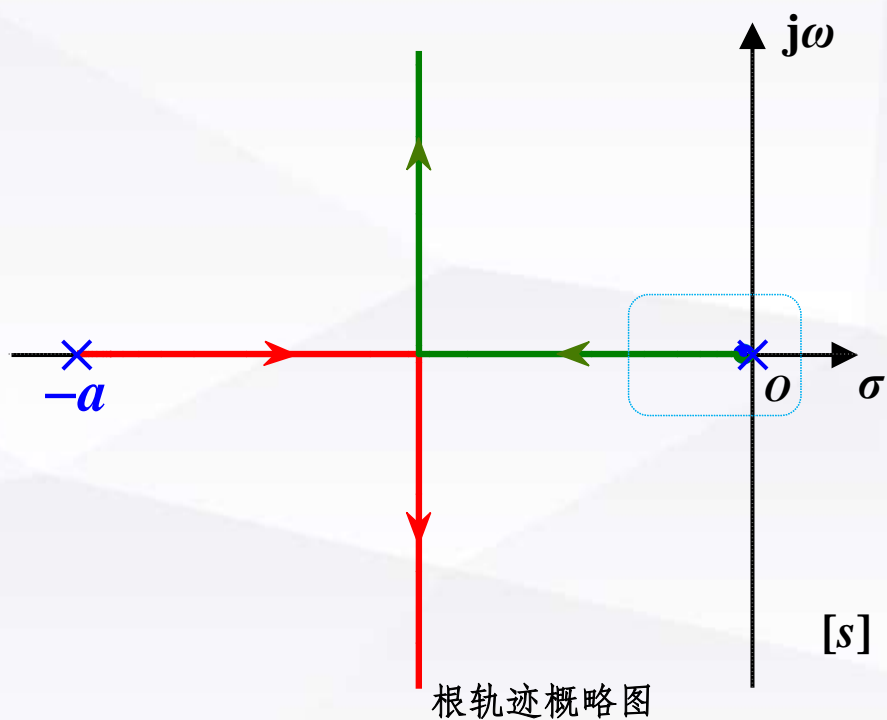
$$G(s) = \frac{K(s+z_c)}{s(s+a)(s+p_c)}, \quad \frac{z_c}{p_c} = M$$



§ 4.7 根轨迹综合法

添加开环偶极子对根轨迹的影响

$$G(s) = \frac{K(s + z_c)}{s(s + a)(s + p_c)}, \quad \frac{z_c}{p_c} = M$$



§ 4.7 根轨迹综合法：校正装置

超前校正装置

添加开环零点，即PD控制，会产生两方面问题：一是单纯添加零点物理上较难以实现；二是对高频噪声具有放大作用，降低了信噪比。

在零点远处设置一个开环极点，形成了超前校正装置：

$$G_c(s) = \frac{s + z_d}{s + p_d} = \frac{1}{\alpha} \cdot \frac{\alpha T_d s + 1}{T_d s + 1}$$

其中： $\alpha = p_d / z_d > 1$ 为环节的分度系数， $T_d = 1/p_d$ 为时间常数，其辐角 φ_d 恒正。

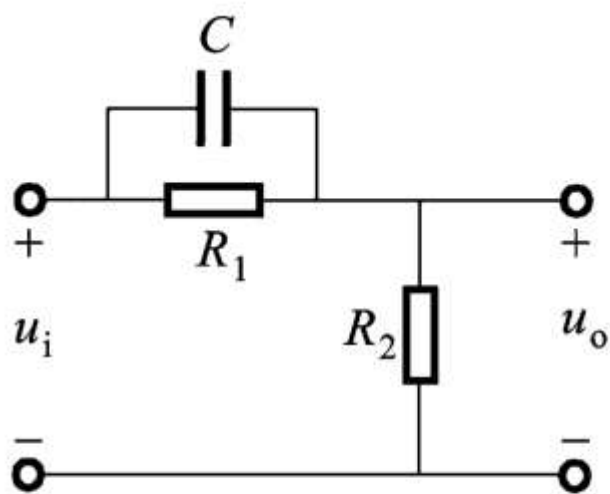
超前校正装置的特点

在反馈系统中引入超前校正装置对系统进行超前校正，利用的是该装置所提供的超前角，使得校正后系统的根轨迹主分支向左移动，进而有效的改善系统的暂态性能；缺点是可能存在增益衰减现象，降低系统的稳态精度。

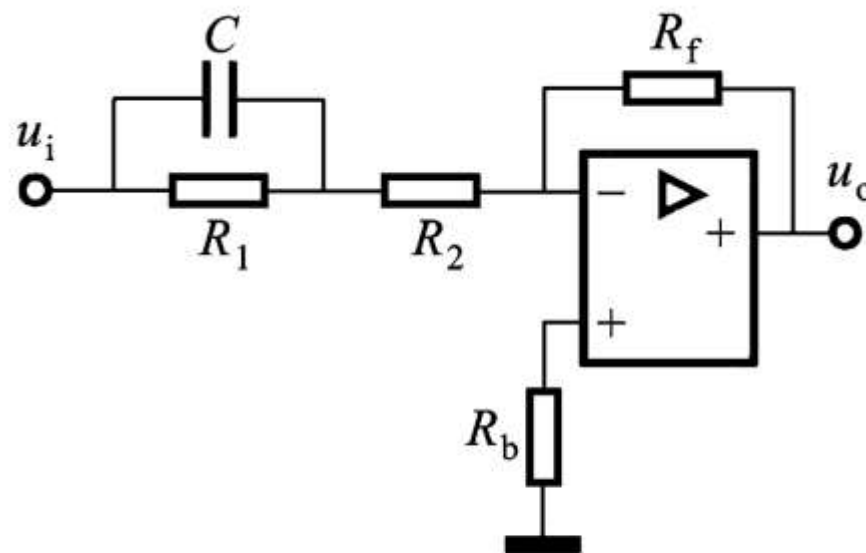
§ 4.7 根轨迹综合法：校正装置

超前校正装置的物理实现

硬件实现中最常见的是电气校正装置：



(a) 无源超前校正网络



(b) 有源超前校正装置

§ 4.7 根轨迹综合法：校正装置

迟后校正装置

引入PI控制可以改善系统的稳态特性，但不利于系统的暂态特性。然而，在原点附近添加一对开环偶极子，且 $p_i < z_i$ ，则对系统的暂态特性几乎没有影响，此时PI控制就会演变为迟后校正装置：

$$G_c(s) = \frac{s + z_i}{s + p_i} = \frac{\beta T_i s + 1}{T_i s + 1}$$

其中： $\beta = p_i / z_i < 1$ 为环节的分度系数， $T_i = 1/p_i$ 为时间常数，其辐角 φ_i 恒负。

迟后校正装置的特点

在维持主导极点附近根轨迹主要分支形状不变的同时，有效提升系统的开环增益，提高的倍数约与 β 成反比，从而有效改善系统的稳态特性；缺点是使根轨迹主要分支略向右移动，影响系统暂态响应的快速性。

§ 4.7 根轨迹综合法：校正装置

迟后超前校正装置

将迟后校正装置和超前校正装置组合在一起，可形成性能更加完善的校正装置，称为迟后超前校正装置：

$$G_c(s) = \frac{s + z_i}{s + p_i} \cdot \frac{s + z_d}{s + p_d} = \frac{1}{\alpha\beta} \cdot \frac{\beta T_i s + 1}{T_i s + 1} \cdot \frac{\alpha T_d s + 1}{T_d s + 1}$$

其中： $\alpha > 1$ ， $\beta < 1$ ， $T_i \gg T_d$ 。

迟后超前校正装置的特点

将迟后超前校正装置对系统进行串联校正时，既可以利用迟后校正装置的特性有效改善系统的稳态特性，又可以利用超前校正装置的特性有效改善系统的暂态特性，其本质可以视为一个带有滤波环节的PID控制器；需要指出，在实际物理实现中，两个分度系数 α 和 β 可能彼此相关，并不能独立选择。

§ 4.7 根轨迹综合法：串联校正

串联校正综合

基本思路：在反馈控制系统的前向通道上引入校正装置，利用其零极点改变系统开环零极点分布，使系统根轨迹在开环增益设计值下通过期望的闭环主导极点，从而使得校正后的系统具有所要求的性能。

串联校正的步骤

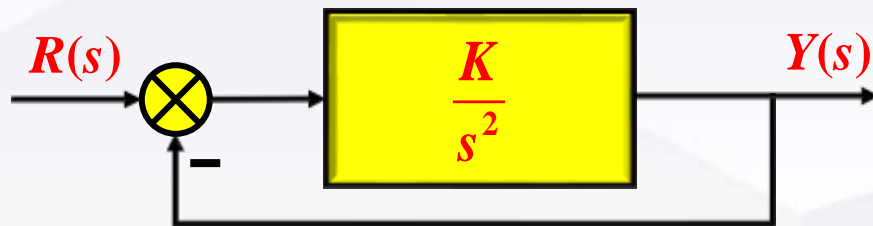
- ①根据给定的系统暂态性能指标，确定期望的闭环主导极点的位置。
- ②分析原系统性能与性能指标要求之间的差距，确定校正的基本形式：

绘制未校系统的根轨迹：

- 1.若期望的主导极点不在根轨迹上，则需综合校正装置；
 - 2.若期望的主导极点在根轨迹上，则检验相应系统开环增益是否满足稳态特性要求；若不满足，则需在原点附近增加开环偶极子来提升系统的稳态特性。
- ③校验综合后系统是否满足稳态和暂态性能指标。

§ 4.7 根轨迹综合法

例：考虑如下的单位负反馈系统：



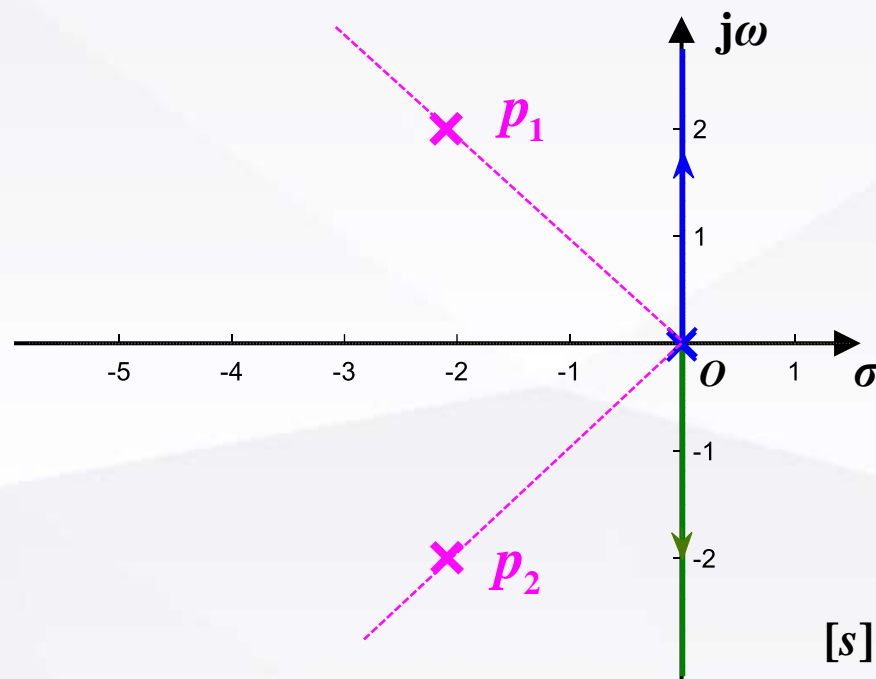
试对该系统进行串联校正，使校正后的系统具有性能指标： $\zeta = 0.707$ ，调节时间 $t_s \leq 2s$ ($\Delta = 5\%$)。

解：①根据给定性能指标，可选取校正后系统期望主导极点为： $p_{1,2} = -2 \pm j2$ 。

②校正：绘制未校正系统根轨迹，如图所示。由根轨迹图可知需要引入超前校正装置。

设其传递函数为：

$$G_c(s) = \frac{s + z_d}{s + p_d}$$



根轨迹概略图

§ 4.7 根轨迹综合法

选取 $z_d=1$ ，根据辐角条件有：

$$\theta_{z_d} - \theta_{p_d} - 2\theta_{p_1} = (2k + 1) \times 180^\circ$$

即：

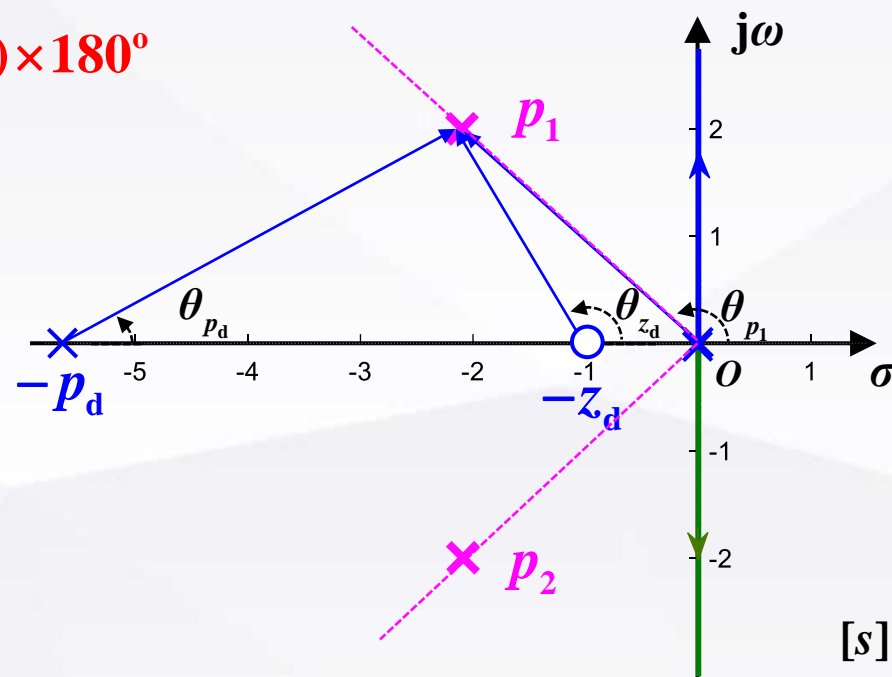
$$(180^\circ - \arctan 2) - \arctan \frac{2}{|-p_d - (-2)|} - 2 \times 135^\circ = (2k + 1) \times 180^\circ$$

即：

$$\arctan 2 + \arctan \frac{2}{|-p_d - (-2)|} = 90^\circ, k = -1$$

解得： $p_d=6$ ，故超前校正装置的传递函数为：

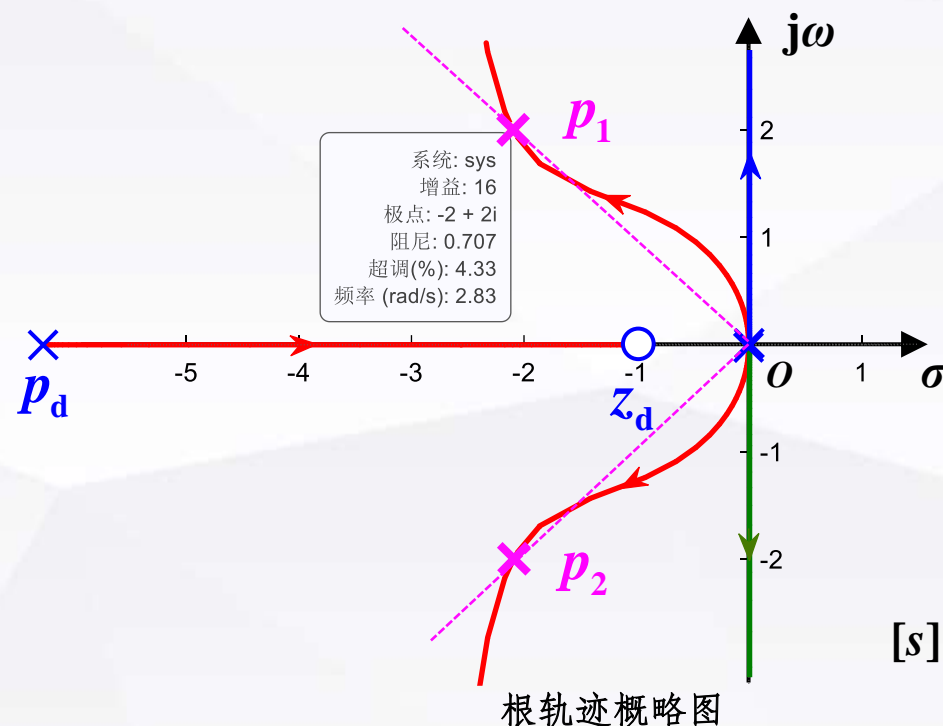
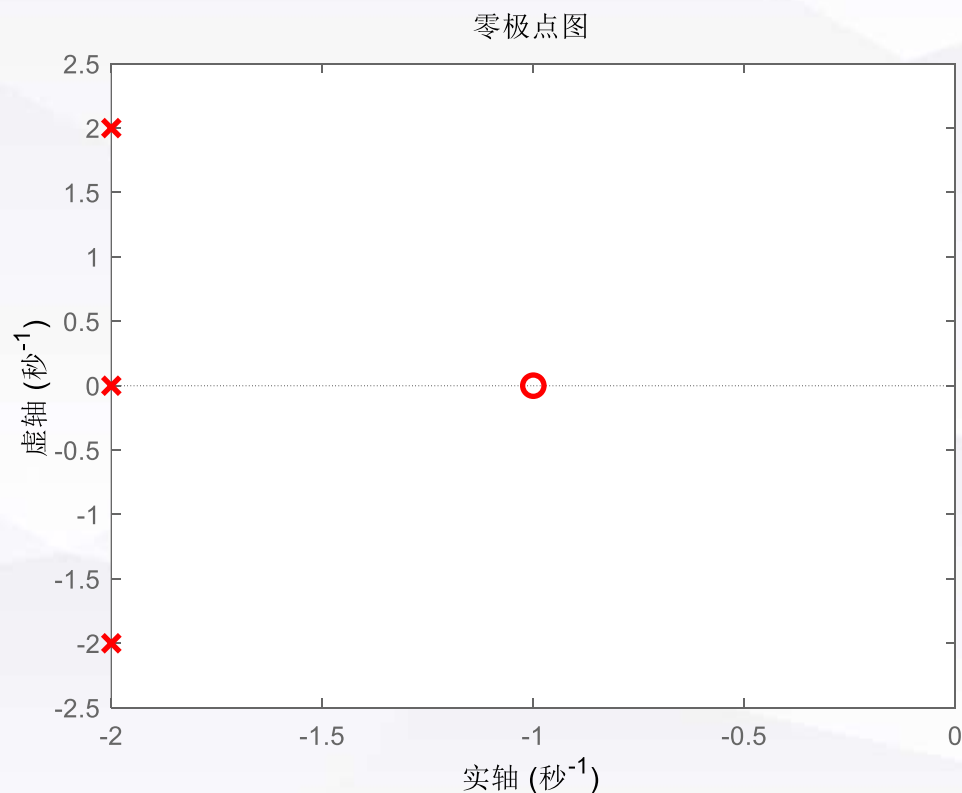
$$G_c(s) = \frac{s + 1}{s + 6}$$



根轨迹概略图

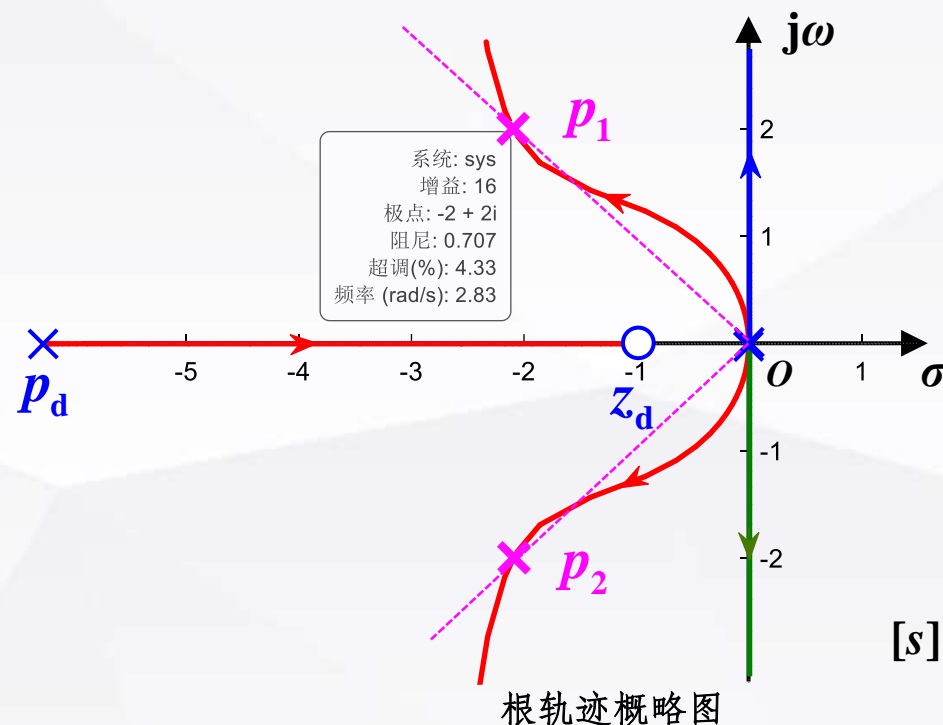
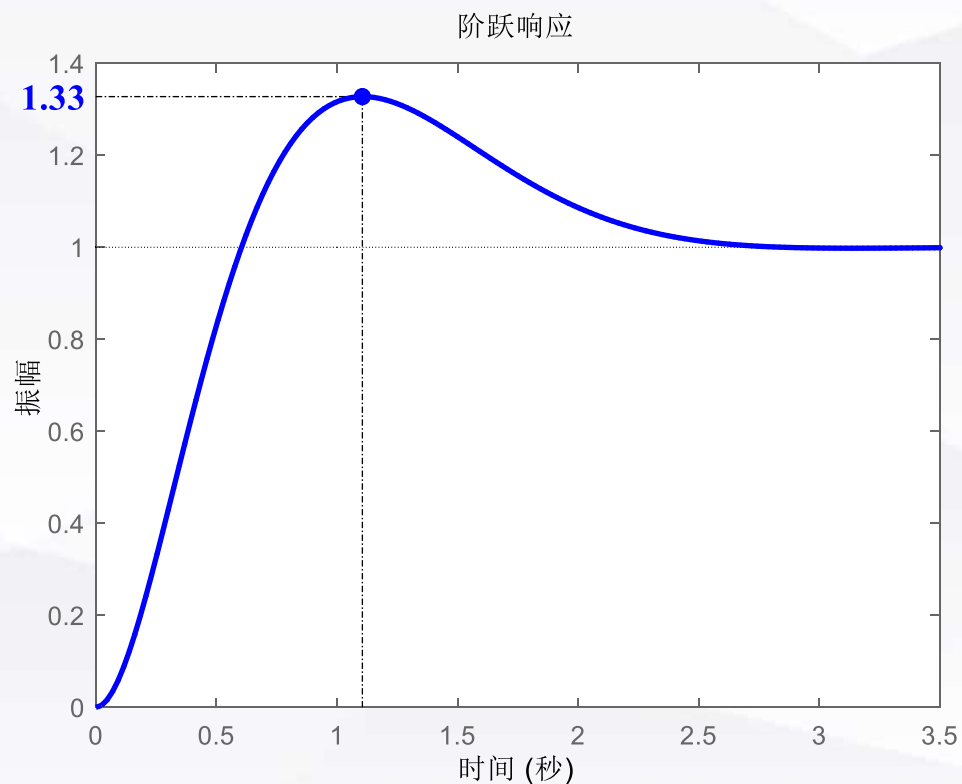
§ 4.7 根轨迹综合法

③校验：主要验证主导极点的主导性是否满足。当 $K=16$ 时，系统有一对复数闭环极点 $p_{1,2}=-2\pm j2$ ，和一个实数极点 $p_3=-2$ ，不能满足主导极点条件，故校正装置无法满足要求。



§ 4.7 根轨迹综合法

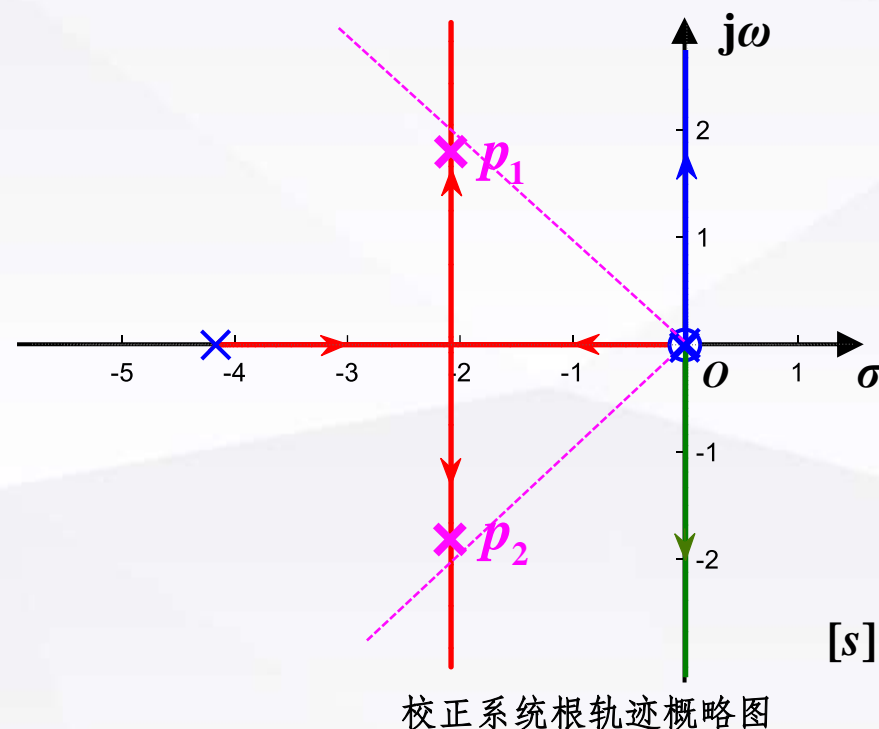
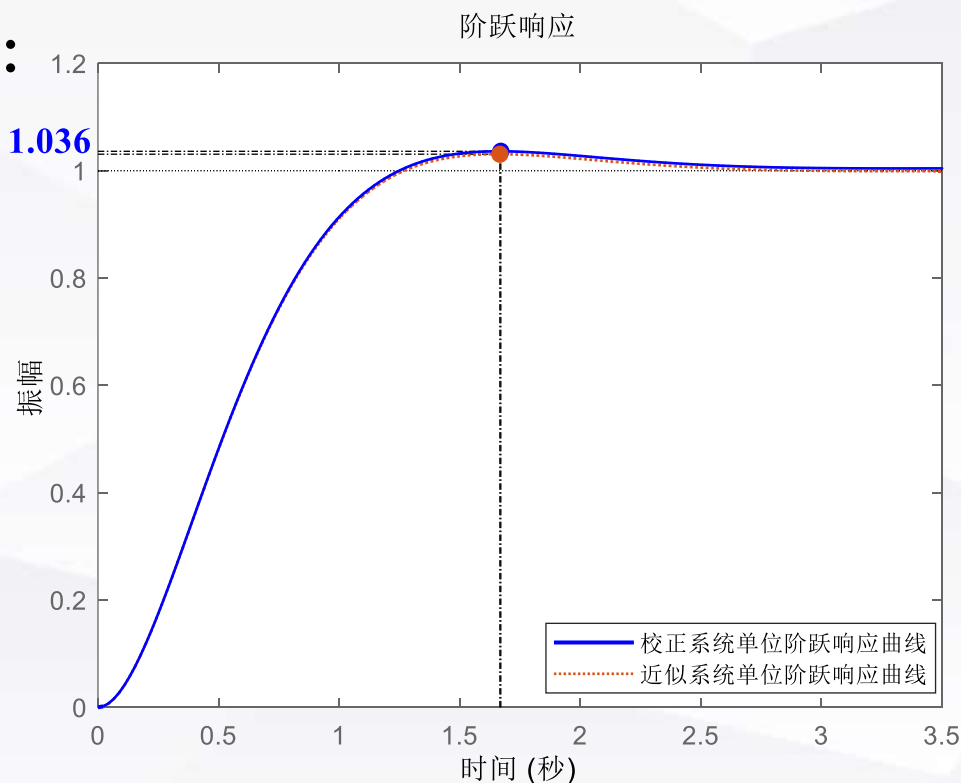
④讨论：主要验证主导极点的主导性是否满足。当 $K=16$ 时，系统有一对复数闭环极点 $p_{1,2}=-2\pm j2$ ，和一个实数极点 $p_3=-2$ ，不能满足主导极点条件，故校正装置无法满足要求。原因： $\varphi_d=90^\circ$ ，此时分度系数 $\alpha=p_d/z_d\rightarrow+\infty$ 。



§ 4.7 根轨迹综合法

④校正：取 $z_d=0.01$ ， $p_d=4.2$ ，则根轨迹如下。考虑留有一定余量，取 $K=8$ ，此时系统有一对复数闭环极点 $p_{1,2}=-2.09 \pm j1.89$ ，闭环实数零点 $z=-0.01$ 和闭环实数极点 $p=-0.0101$ 近似相消，故系统可以降阶为如下的二阶系统： $\tilde{G}_k(s) = \frac{1}{s(s+4.2)}$ 。

⑤校验：

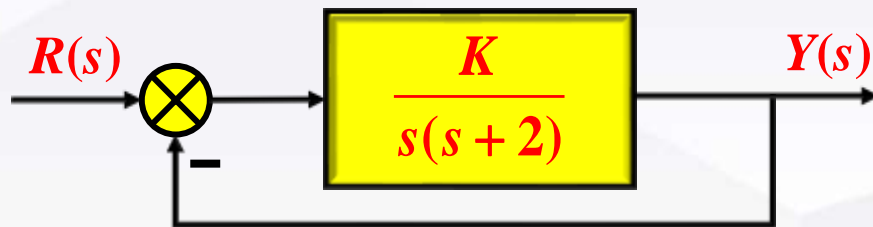


§ 4.7 根轨迹综合法

⑥讨论：取 $z_d=0.01$ ， $p_d=4.2$ ，系统开环增益下降 $\alpha=p_d/z_d=420$ 倍（ α 通常取3~5），因此开环增益衰减严重，大大降低了系统的稳态精度；因此，引入超前校正装置时需要系统开环增益储备较为充足，否则就需要附加放大器进行补偿。

§ 4.7 根轨迹综合法

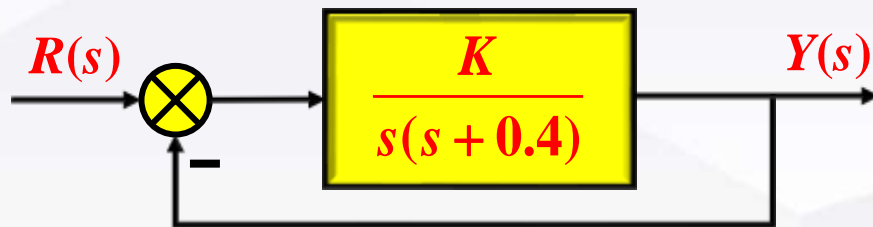
例：考虑如下的单位负反馈系统：



试对该系统进行串联校正，使校正后的系统具有性能指标： $\zeta=0.5$ ， $\omega_n=2$ ，单位速度稳态误差 $e_s \leq 0.05$ 。

§ 4.7 根轨迹综合法

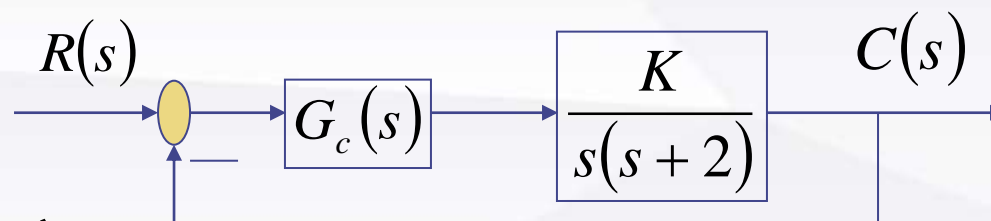
例：考虑如下的单位负反馈系统：



试对该系统进行串联校正，使校正后的系统具有性能指标： $\zeta=0.5$ ， $\omega_n=0.4$ ，单位速度稳态系数 $K_v \geq 40$ 。

§ 4.7 根轨迹综合法

例4.10



■ 系统根轨迹:

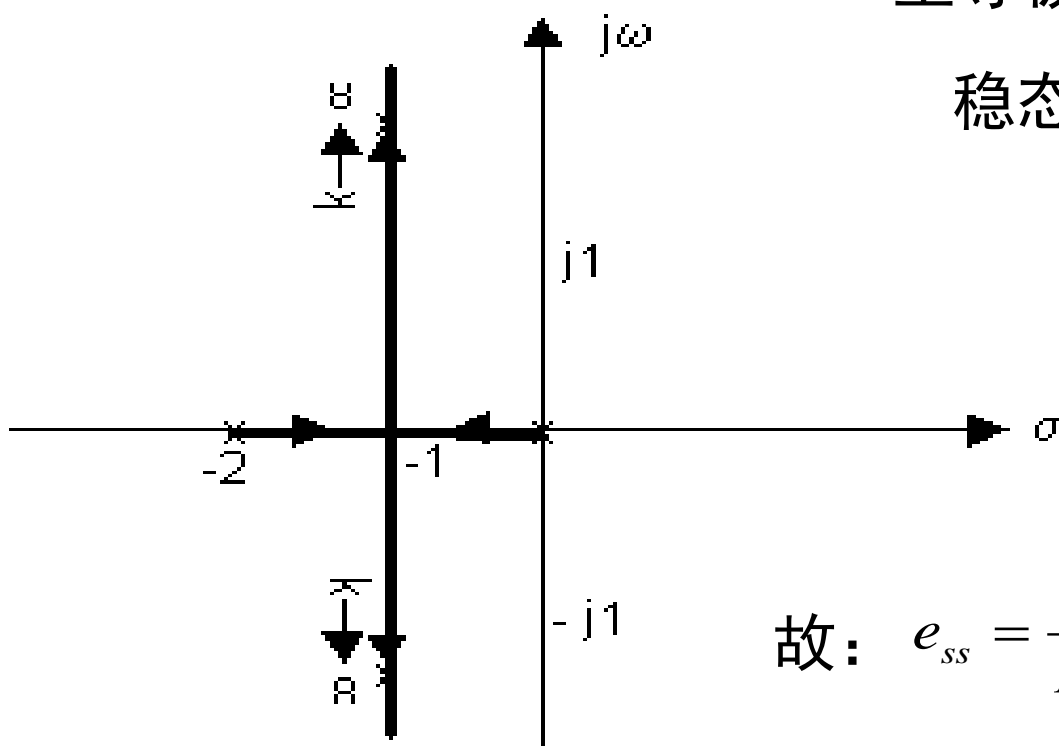
主导极点参数: $\zeta = 0.5, \omega_n = 2$

稳态误差: $e_{ss} \Big|_{\text{单位斜坡}} \leq 0.05 \text{弧度}$

主导极点: $-1 \pm j1.732$

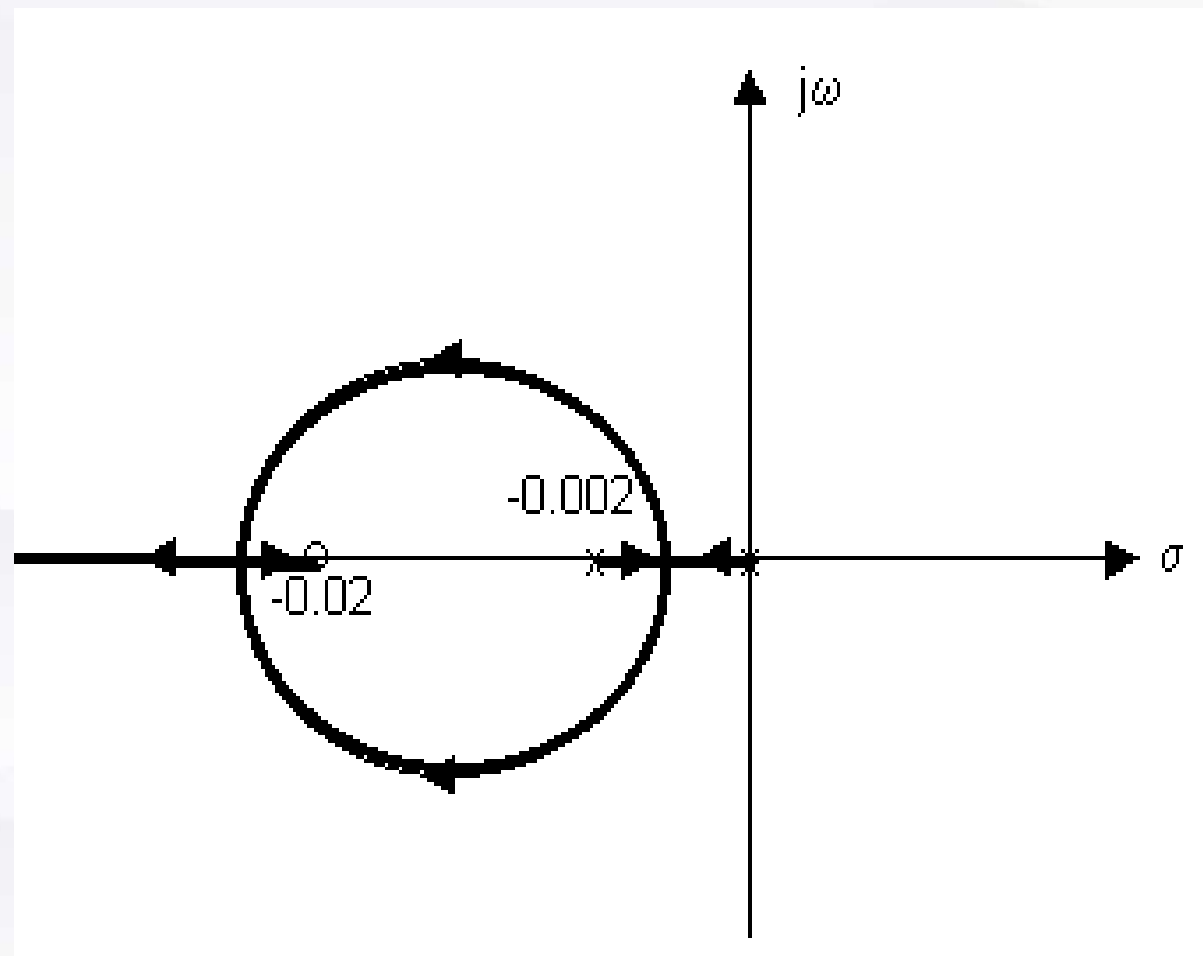
根据幅值条件, 有
 $K = 4$

故:
$$e_{ss} = \frac{1}{K_v} = \frac{1}{\lim_{s \rightarrow 0} sG(s)} = 0.5 > 0.05$$



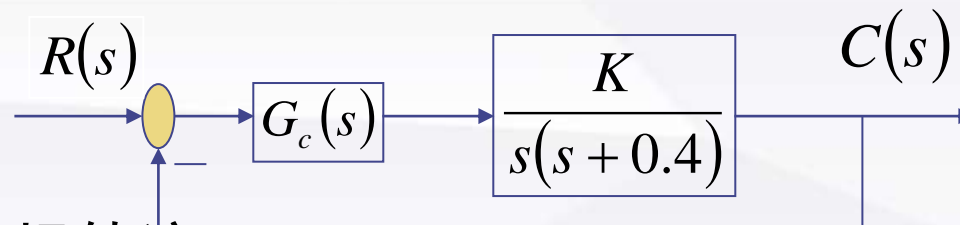
§ 4.7 根轨迹综合法

例 4.10 原点附近的跟轨迹



§ 4.7 根轨迹综合法

例4.11



■ 综合后系统根轨迹

闭环主导极点参数: $\zeta = 0.5, \omega_n = 4$

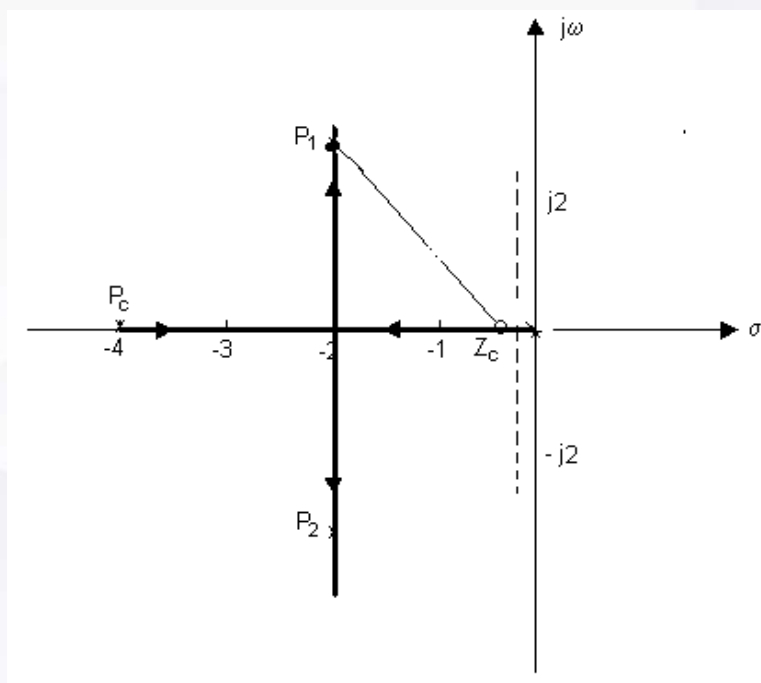
稳态误差指标: $K_v \geq 40$

主导极点:

$$-\zeta\omega_n \pm j\omega_n\sqrt{1-\zeta^2} = -2 \pm j3.14$$

选择控制器的零点为: $z_c = -0.4$, 则

$$p_c = -4$$



§ 4.7 根轨迹综合法

控制器传函为：

$$G_c(s) = \frac{K(s+0.4)}{s+4}$$

此时系统在主主导极点出的增益值为：

$$K = |s(s+4)|_{s=-2+j3.14} = 16$$

系统速度误差系数为： $K_v = \lim_{s \rightarrow 0} \frac{s+0.4}{s+4} \cdot \frac{16}{s+0.4} = 4 < 40$

为此选择偶极子，使得

$$\frac{z'_c}{p'_c} = 10, \quad \text{如}(p'_c = -0.01, z'_c = -0.1)$$

§ 4.7 根轨迹综合法

控制器参数为：

$$G'(s) = \frac{s + 0.1}{s + 0.01}$$

综合后系统的开环传函为：

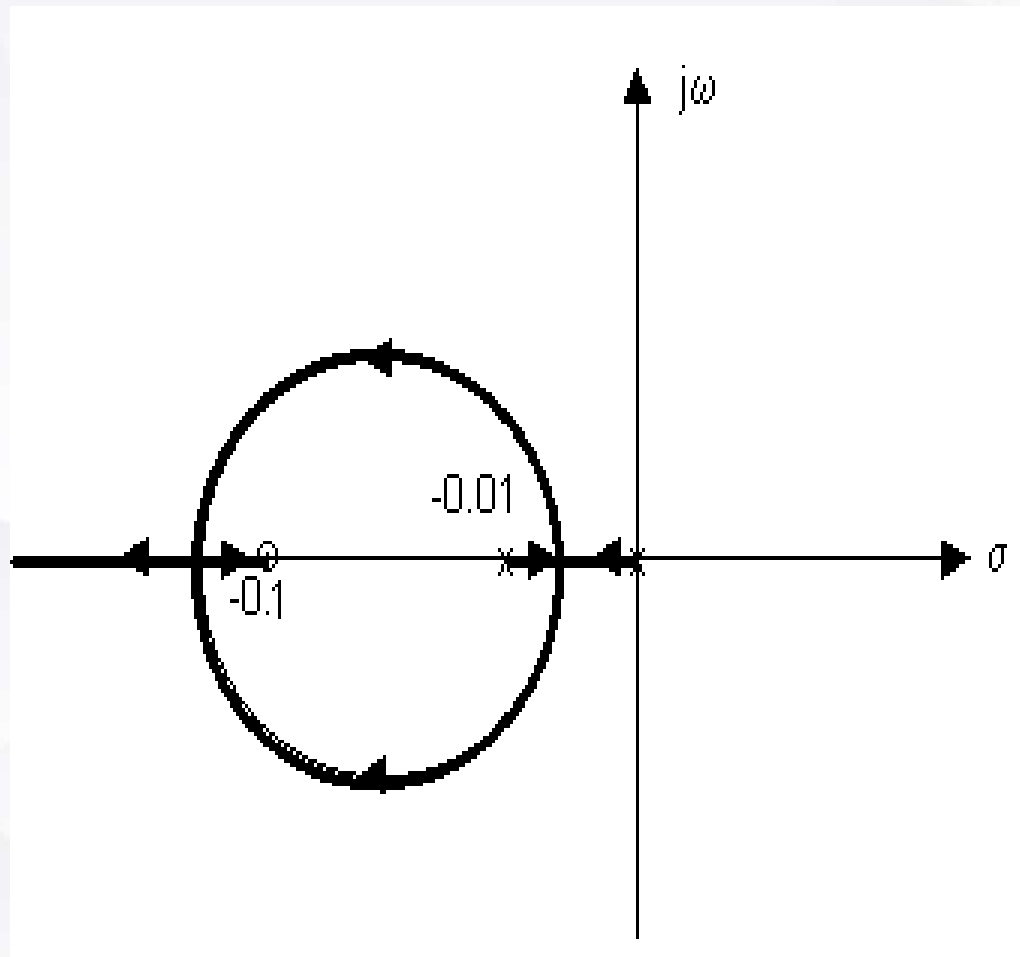
$$KG_c(s)G'(s)G_p(s) = \frac{16(s + 0.4)(s + 0.1)}{s(s + 0.4)(s + 4)(s + 0.01)} = \frac{16(s + 0.1)}{s(s + 4)(s + 0.01)}$$

检验：

$$K_v = \lim_{s \rightarrow 0} \frac{16(s + 0.1)}{s(s + 4)(s + 0.01)} = 40$$

§ 4.7 根轨迹综合法

例4.11 原点附近的根轨迹



§ 4.7 根轨迹综合法

补充例题

1、试绘制单位反馈系统 $G(s) = \frac{K}{s(s + \alpha)}$ 当参数 α 变化时根轨迹

2、某单位反馈系统的开环传函为

$$G(s) = \frac{K}{s(s + 1)(s + 5)(s + 6)}$$

试绘制系统的根轨迹，并确定

- ①使系统超调量为10%的K值；
- ②确定所有非主导闭环极点的分布，并评价得到①的结果所用的近似二阶系统；
- ③使系统稳定的K值范围。

§ 4.7 根轨迹综合法

3、单位反馈控制系统如下，系统以主导极点的阻尼比为0.707来运行，综合一个控制器，使调整时间减少到原来的1/2。比较综合前后系统的动态和稳态特性。

$$G_K(s) = \frac{K}{(s+1)(s+2)(s+3)(s+6)}$$

§ 4.7 根轨迹综合法

作业：

B4.26, B4.27, B4.28